

東海大学海洋学部 学生員 楠江井 夕紀夫  
東海大学海洋学部 正員 北原道弘

### 1. はじめに

2次元無限弾性体内に複数個の空洞(欠陥)が存在する場合を考える。本研究では、入射波を平面波と仮定し、複数個の空洞による面外多重散乱問題の解析を行う。解析には境界積分方程式法を用いる。ここでは、その解法としてBorn級数による解法を提案し、Born級数解の収束性の検討を通してその有用性を確かめる。簡単のため、ここでは2個の空洞問題を設定するが、空洞の数が増加しても解法の要點は同じである。

### 2. 面外多重散乱問題の定式化

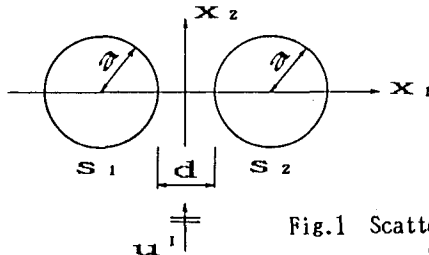


Fig. 1 Scattering problem

いま、Fig. 1 に示すようなモデルを考える。各空洞の表面  $S_1, S_2$  上の境界条件は  $\mu \partial u / \partial n = 0$  である。このとき、離散化した後の境界積分方程式は次のように書ける。

$$\begin{bmatrix} H_{11} & H_{12} \\ H_{21} & H_{22} \end{bmatrix} \begin{Bmatrix} u_1 \\ u_2 \end{Bmatrix} = \begin{Bmatrix} u_1^I \\ u_2^I \end{Bmatrix} \quad (1)$$

ここで、 $u_1^I$  は入射波であり、 $u_i$  は各表面上の面外変位である。また、行列  $H_{i,j}$  の下添字は  $j$  番目の空洞表面から  $i$  番目の空洞表面への影響を意味する。すなわち、 $H_{11}$  と  $H_{22}$  は自己影響を表し、 $H_{12}$  と  $H_{21}$  は相互影響を表す。

### 3. Born級数による解法

式(1)を次のように変形する。

$$\begin{bmatrix} H_{11} & 0 \\ 0 & H_{22} \end{bmatrix} \begin{Bmatrix} u_1 \\ u_2 \end{Bmatrix} = \begin{Bmatrix} u_1^I \\ u_2^I \end{Bmatrix} + \begin{bmatrix} 0 & -H_{12} \\ -H_{21} & 0 \end{bmatrix} \begin{Bmatrix} u_1 \\ u_2 \end{Bmatrix} \quad (2)$$

簡単のために、式(2)を次のように書く。

$$A\mathbf{u} = \mathbf{u}^I + B\mathbf{u} \quad (3)$$

ここに、 $A, B$ などは次のようにある。

$$A = \begin{bmatrix} H_{11} & 0 \\ 0 & H_{22} \end{bmatrix}, B = \begin{bmatrix} 0 & -H_{12} \\ -H_{21} & 0 \end{bmatrix} \quad (4)$$

$$\mathbf{u} = \{u_1, u_2\}^T, \mathbf{u}^I = \{u_1^I, u_2^I\}^T$$

ここで、式(3)に  $A$  の逆行列  $A^{-1}$  を左から作用させて次式を得る。

$$\mathbf{u} = A^{-1}\mathbf{u}^I + C\mathbf{u} \quad (5)$$

ここに、 $A^{-1}$  と  $C$  は次のようにある。

$$A^{-1} = \begin{bmatrix} H_{11}^{-1} & 0 \\ 0 & H_{22}^{-1} \end{bmatrix} \quad (6)$$

$$C = A^{-1}B = \begin{bmatrix} H_{11}^{-1} & 0 \\ 0 & H_{22}^{-1} \end{bmatrix} \begin{bmatrix} 0 & -H_{12} \\ -H_{21} & 0 \end{bmatrix} \quad (7)$$

式(5)における右辺第1項は既知であるので、これを解  $\mathbf{u}$  の第0次近似とする。このとき、式(6)よりわかるように、第0次近似は入射波だけによる空洞の自己応答を表す。以下、第1、第2、第3次近似は次のように空洞間の相互応答(式(5), (7) 参照)を順次表す表現となる。

$$\begin{aligned} \mathbf{u}_0 &= A^{-1}\mathbf{u}^I \\ \mathbf{u}_1 &= \mathbf{u}_0 + C\mathbf{u}_0 \\ \mathbf{u}_2 &= \mathbf{u}_0 + C\mathbf{u}_1 = \mathbf{u}_0 + C\mathbf{u}_0 + C^2\mathbf{u}_0 \\ \mathbf{u}_3 &= \mathbf{u}_0 + C\mathbf{u}_2 = \mathbf{u}_0 + C\mathbf{u}_0 + C^2\mathbf{u}_0 + C^3\mathbf{u}_0 \\ &\vdots \end{aligned} \quad (8)$$

これより、第  $n$  次近似は次式のように書ける。

$$\mathbf{u}_n = \mathbf{u}_0 + C\mathbf{u}_{n-1} = \sum_{N=0}^n C^N \mathbf{u}_0 \quad (9)$$

これが解  $\mathbf{u}$  のBorn級数的表現である。

#### 4. 解析モデル

ここでは、Fig. 1に示したモデルにおいて、 $d = a$ とおいた。空洞表面は1つの円につき36の直線要素で近似し、一定要素を用いて解析を行った。なお入射波は次式で示される単位振幅の平面波である。

$$u^I = e^{ikx_2} \quad (10)$$

#### 5. 数値解析例

Fig. 2は、1つの空洞の場合について、積分方程式法の結果を検証するために、Morseの結果〔1〕と比較したものである。Fig. 3は2つの空洞による多重散乱問題に対する結果であり、式(9)に示したBorn級数解の収束性を、変形レベルで確認するため左側空洞( $S_1$ )上の変位を描いたものである。図中の実線は、式(1)に示した積分方程式系を直接

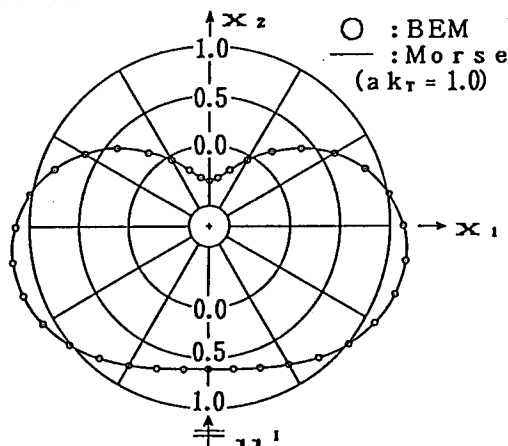


Fig. 2 Real part of  $u$  for single cavity

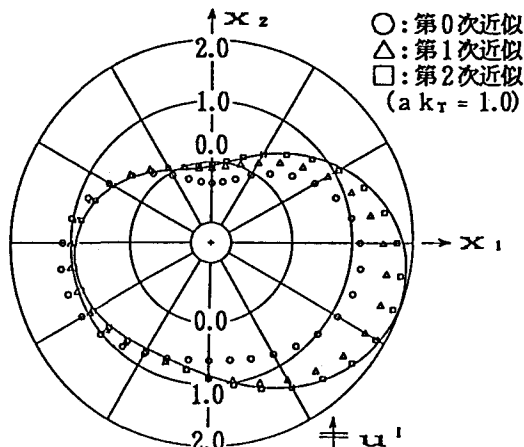


Fig. 3 Real part of  $u$  for double cavities

解いた結果であり、○、△、□がBorn級数による結果である。図中には第2次近似までを示したが、第3次近似はほぼ完全に実線と一致する。

Fig. 4は、Born級数解の収束性を、入射波の波数を変えて調べた結果である。収束性の判定については次のように考えた。まず、 $E_1$ 、 $E_2$ を次式のように定義する。

$$E_1 = \sum_{\alpha} |u_{\alpha}| / Kf \quad (11)$$

$$E_2 = \sum_{\alpha} |u_{\alpha}^N| / Kf$$

ここに、 $E_1$ における $u_{\alpha}$ は積分方程式法による解であり、総和は要素 $\alpha$ （本研究では1～36）に関する和を意味する。 $Kf$ は全自由度であり、本研究では要素数36に一致する。また、 $E_2$ における $u_{\alpha}^N$ は式(9)の各項からの寄与  $C^N u_{\alpha}$  ( $N=0, 1, 2, \dots, n$ ) を表す。ここで、Fig. 4の横軸は式(9)における各項を示すパラメータ $N$ であり、縦軸は解に対する級数各項の割合  $E_2/E_1$ を対数目盛で示している。实用上、 $10^{-4}$ の精度は必要ないと考えられるので、式(9)は入射波の波数が大きくなても数項で収束していることがわかる。

参考文献 [1] Morse, P. M., Vibration and Sound, McGraw-Hill, 1948.

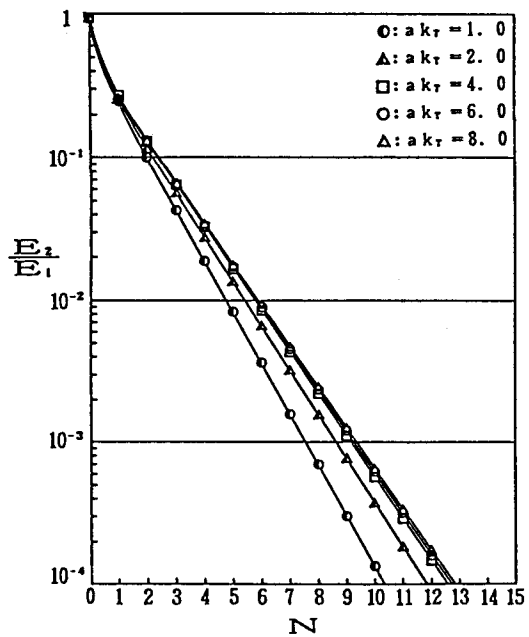


Fig. 4 Convergence rate